

ФОТОЭЛЕКТРИЧЕСКИЕ СВОЙСТВА КРИСТАЛЛОВ $\text{Bi}_{12}\text{SiO}_{20}$

© Т.В.Панченко, З.З.Янчук*

Днепропетровский государственный университет,
320625 Днепропетровск, Украина

* Киевский государственный университет, 252000 Киев, Украина
(Поступила в Редакцию 30 октября 1995 г.)

Исследована стационарная фотопроводимость кристаллов $\text{Bi}_{12}\text{SiO}_{20}$. Наблюдалась термическая активация и гашение фототока, сверхлинейность люксамперных характеристик, индуцированная примесная фотопроводимость, оптическое гашение собственной фотопроводимости. Результаты обсуждаются в рамках двухцентральной модели рекомбинации. Определены некоторые параметры г-центров медленной рекомбинации и t -уровней прилипания, а также энергии оптической активации ряда локальных уровней запрещенной зоны.

Высокая фоточувствительность в сочетании с электрооптическими свойствами позволяет использовать кристаллы $\text{Bi}_{12}\text{MO}_{20}$ (ВМО, где $M = \text{Si}, \text{Ge}, \text{Ti}$) в устройствах записи объемных голограмм и оптической обработки информации. С учетом потребностей практики при изучении фотоэлектрических свойств этих кристаллов основное внимание было уделено особенностям фотопереноса. К настоящему времени развиты одно-, двух- и (или) трехуровневые модели стационарного фотопереноса, в которых рассматриваются генерация, дрейф и захват фотоносителей (электронов) на локальные уровни запрещенной зоны ВМО при различных условиях на контактах. В рамках этих моделей хорошо объясняются результаты экспериментальных исследований динамики формирования и перераспределения электрического поля и фотоиндуцированного заряда, показана важная роль степени заполнения глубоких локальных уровней $[1-6]$. Однако реальный спектр энергетических состояний ВМО [7] значительно сложнее трехуровневой модели и может проявить себя отличным от описанного в $[1-6]$ образом при изменении условий эксперимента.

Так, например, исследования кинетики установления стационарного фототока при повышенных температурах ($T > 300 \text{ K}$) и фотопроводимости в переменных полях частотой $f = 10^2 - 10^7 \text{ Hz}$ показали, что фотоперенос в кристаллах $\text{Bi}_{12}\text{SiO}_{20}$ (BSO) и $\text{Bi}_{12}\text{GeO}_{20}$ (BGO) может осуществляться прыжками электронов по пространственно и энергетически разупорядоченным состояниям запрещенной зоны. При этом кристаллы BSO и BGO рассматриваются как сильно легированные компенсированные полупроводники $[8,9]$. Предложен интересный механизм

переноса, включающий обмен носителями заряда между локальными уровнями запрещенной зоны ВМО [10]. В [12] показано, что модели с одним типом носителей заряда не всегда применимы для ВМО и что роль дырок может быть значительной.

В работах [1-10] не уделено достаточного внимания процессам рекомбинации. В то же время в кристаллах ВМО наблюдается совокупность фотоэлектрических явлений (термическая активация фотопроводимости [8,12-14], ее температурное и оптическое гашение [8,13-15], индуцированная примесная фотопроводимость [9,16,17], сверхлинейность люкс-амперных характеристик [9,12] и др.), которые указывают на рекомбинационное взаимодействие различных типов центров рекомбинации [18]. Теоретический анализ показал возможность использования для кристаллов ВМО моделей рекомбинации в монополярном широкозонном полупроводнике с s -центрами «быстрой» и r -центрами «медленной» рекомбинации [14]. Однако эти модели недостаточно обоснованы экспериментально, центры рекомбинации мало изучены. Очевидно, что развитие представлений о фотоэлектрических свойствах и фотопереносе в кристаллах ВМО связано как с определением параметров всего спектра локальных уровней запрещенной зоны, так и с определением их функциональной роли в процессах генерации, захвата и рекомбинации носителей заряда. В данной работе приведены результаты дальнейшего исследования фотоэлектрических свойств кристаллов BSO.

1. Эксперимент

Исследовались номинально чистые кристаллы BSO, выращенные методом Чохральского вдоль кристаллографического направления [001]. Общее содержание неконтролируемой примеси по данным спектрально-эмиссионного анализа не превышало 10^{-3} mass.%. Образцы были приготовлены в виде полированных пластин толщиной 0.3-0.7 mm с большими плоскостями (001). На эти плоскости были нанесены Ag-электроды, вожженные в вакууме при $T = 780$ K. Зазор между электродами составлял 0.7-1.0 mm. Для приведения к одному нормальному состоянию все образцы перед измерениями прогревались в темноте до 700 K с последующим медленным (сутки) охлаждением.

Изучались следующие стационарные характеристики: спектральное распределение фотопроводимости $\Delta\sigma^{ph}(h\nu)$ в диапазоне энергий фотонов $h\nu = 0.5-3.5$ eV, температурные зависимости фотоотклика $I^{ph}(T)$ при собственном и примесном возбуждении в диапазоне температур $T = 84-400$ K и люкс-амперные характеристики $I^{ph}(L)$, где L — интенсивность возбуждения собственной фотопроводимости. Рассматривалось также влияние УФ-освещения ($h\nu = 3.4$ eV, зона-зонное возбуждение) на зависимости $\Delta\sigma^{ph}(h\nu)$. Фотопроводимость определялась по приращению проводимости на свету: $\Delta\sigma^{ph}(h\nu) = \sigma^{ph} - \sigma^d$, где σ^{ph} и σ^d — проводимости на свету и в темноте соответственно.

Для спектральных исследований использовался манохроматор SPM-2 со средней разрешающей способностью не менее 0.02 eV. Источником света служила лампа накаливания мощностью 400 W. Измерения проводились от низких к высоким значениям $h\nu$ во избежа-

ние неконтролируемого индукцирования примесной фоточувствительности. Пучок света модулировался с частотой 12 Hz. К образцу прикладывалось стабилизированное напряжение величиной 15 V. Измерения проводились в режиме постоянного электрического поля [19]. Полезный сигнал регистрировался усилителем переменного тока с использованием техники синхронного детектирования. Образец прижимался к медному теплопроводу азотного криостата, температура измерялась хромель-копелевой термопарой. Для исследования влияния УФ-освещения в качестве дополнительного источника света использовалась ртутная лампа ПРК-4. Зависимости $\Delta\sigma^{\text{ph}}(h\nu)$ нормировались относительно аппаратной функции спектрального распределения потока фотонов.

Температурные зависимости собственной и примесной фотопроводимости измерялись при нагревании образцов со скоростью 0.02 K/s. Люкс-амперные характеристики были получены с использованием лампы ПРК-4 в качестве источника света, интенсивность которого дискретно менялась в пределах трех порядков величины с помощью набора светофильтров.

2. Результаты и обсуждение

1) Спектральные зависимости фотопроводимости. Полученные зависимости $\Delta\sigma^{\text{ph}}(h\nu)$ (рис. 1) позволяют выделить пять широких полос примесного фотоотклика в диапазонах $h\nu = 0.5-0.9$ (A), $0.9-1.4$ (B), $1.4-2.0$ (C), $2.0-2.6$ (D), $2.7-3.5$ eV (E). При $T = 290$ K фотоотклик в A-полосе не регистрируется, B- и D-полосы характеризуются четко выраженными длинноволновыми порогами с $h\nu = 0.90$ и 2.05 eV. E-полоса примыкает к области собственной фотопроводимости, спектральное положение ее максимума было принято нами за ширину запрещенной зоны: $h\nu_{\text{max}}^E = \Delta E_g = 3.33$ и 3.45 eV при $T = 290$ и 84 K соответственно. При этом средняя скорость температурного изменения ΔE_g ($d(\Delta E_g)/dT = -5.8 \cdot 10^{-4}$ eV · K⁻¹) соответствует оценкам этой величины по смещению края оптического поглощения [20]. Интенсивность фотоотклика в D-полосе велика и несколько превышает величину собственной фотопроводимости в E-полосе (при $T = 290$ K).

Все широкие полосы слабо структурированы. По положению максимумов можно выделить ряд более узких полос примесной фоточувствительности и оценить энергию оптической активации локальных уровней запрещенной зоны кристаллов BSO: $E_a^O = 0.95, 1.05, 1.15, 1.28, 1.46, 1.6, 1.9, 2.47, 2.62, 2.90, 3.05, 3.12, 3.2$ eV. Часть полученных значений E_a^O с точностью до ± 0.05 eV коррелирует с приведенными в работах [7,12,21-24]. Однако в отличие от данных этих работ, мы выявили структуру D- и E-полос фотоотклика.

Понижение температуры до 84 K или ее повышение до 380 K приводит к существенному уменьшению фотопроводимости в B-, C-, D- и E-полосах, в то время как интенсивность фотоотклика в A-полосе растет. В связи с изменением соотношения интенсивностей в полосах примесного фотоотклика в пользу более низкоэнергетических спектров $\Delta\sigma^{\text{ph}}(h\nu)$ существенно трансформируются.

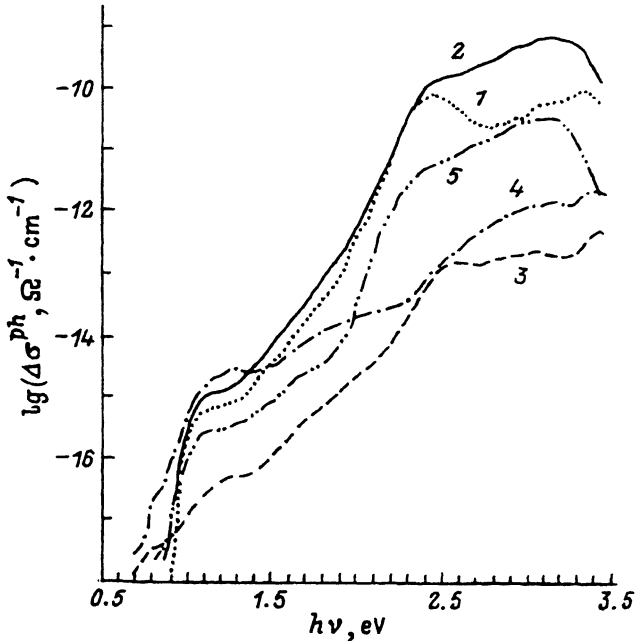


Рис. 1. Спектральные зависимости фотопроводимости кристаллов BSO при $T = 290$ (1, 2), 84 (3, 4) и 385 К (5) без УФ-освещения (1, 3, 5) и при дополнительном УФ-освещении (2, 4).

Наблюдающееся увеличение фотоотклика при УФ-освещении представляет собой эффект индуцирования примесной фоточувствительности (ИПФ). При $T = 290$ К мы наблюдали ИПФ в двух спектральных областях с $h\nu_1 \leq 2.1$ eV и $h\nu_2 = 2.5-3.2$ eV. Этот эффект с красной границей $h\nu_1 < 2.0$ eV описан также в [9,16,17]. Однако в более коротковолновой области ранее он не наблюдался. Понижение температуры обуславливает значительное усиление эффекта ИПФ с коротковолновым смещением границ областей его проявления до $h\nu_1' < 2.2$ eV и $h\nu_2' = 2.6-3.4$ eV. При этом в области $h\nu_2'$ под действием УФ-освещения интенсивность фотоотклика перераспределяется в пользу полос с $E_a^0 = 3.2, 3.12, 3.05$ и 2.90 eV.

Немонотонный характер влияния температуры на спектры $\Delta\sigma^{\text{ph}}(h\nu)$ привлекает внимание к исследованию температурной зависимости как собственной, так и примесной фотопроводимости кристаллов BSO.

2) Температурные зависимости фотопроводимости. Семейства температурных зависимостей фотопроводимости $\Delta\sigma^{\text{ph}}(T)$, полученные при собственном возбуждении ($h\nu = 3.5$ eV) различной интенсивности и примесном возбуждении ($h\nu = 2.3-3.2$ eV) для $L = \text{const}$, в целом аналогичны друг другу (рис. 2, 3).

В обоих случаях по мере повышения температуры в области $T_1 = 140-260$ К наблюдается эффект термической активации фотопроводимости (ТАФ), а в области $T_2 = 260-400$ К — эффект температурного гашения (ТГФ).

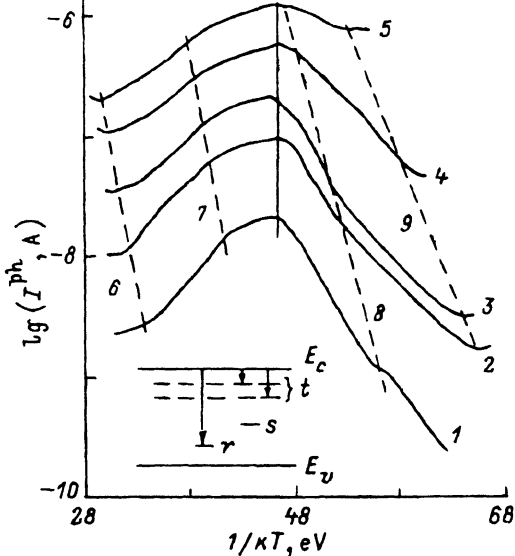


Рис. 2. Семейство температурных зависимостей фототока в области собственной фотопроводимости кристаллов BSO для уровней освещенности $L/L_0 = 0.001$ (1), 0.008 (2), 0.014 (3), 0.22 (4) и 1.0 (5); температурные зависимости точек перегиба в области ТГФ $\ln I_{r1}^{ph}(1/kT')$ (6, 7), а также в области ТАФ $\ln I_1^{ph}(1/kT_1')$ (8) и $\ln I_2^{ph}(1/kT)$ (9).

Энергия фотовозбуждения $h\nu = 3.4$ eV. На вставке — двухцентровая модель рекомбинации, контролируемой уровнями прилипания.

Согласно [7], стационарная фотопроводимость кристаллов ВМО определяется в основном электронами, т. е.

$$\Delta\sigma^{ph} = e\mu_n\tau_n\beta\alpha L, \quad (1)$$

где e , μ_n , τ_n — заряд, дрейфовая подвижность и время жизни электронов, β — эффективный квантовый выход фотоэффекта, α и L — коэффициент поглощения и интенсивность падающего света. Поэтому температурная зависимость $\Delta\sigma^{ph}$ может быть обусловлена температурной зависимостью μ_n , β или τ_n . Подвижность электронов в кристаллах ВМО растет с температурой [8, 25], однако в интервале T_1 ее рост незначителен (в пределах порядка величины [25]) и не может объяснить эффект ТАФ, приводящий к увеличению фотопроводимости в пределах 3–4 порядков величины. При дальнейшем увеличении температуры в области T_2 на фоне значительного роста μ_n наблюдается эффект ТГФ. Температурная зависимость β характерна для сложного механизма генерации носителей заряда, связанного, например, с генерацией экситонов. Исследования краевого оптического поглощения не выявили возбуждения экситонов в кристаллах BSO и BGO, хотя возможность их генерации в области непрямых оптических переходов не исключается [26, 27].

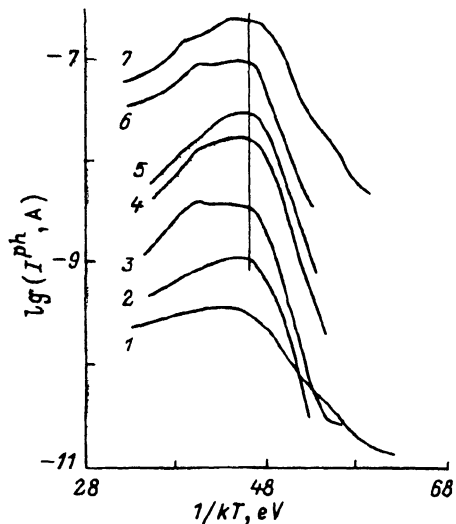


Рис. 3. Семейство температурных зависимостей примесной фотопроводимости кристаллов BSO для различной энергии фотовозбуждения $h\nu$ (eV): 1 — 2.1, 2 — 2.34, 3 — 2.58, 4 — 2.75, 5 — 2.88, 6 — 3.26, 7 — 3.3. $L/L_0 = 1.6 \cdot 10^{-2}$.

Во многих широкозонных полупроводниках эффекты ТАФ и ТГФ можно связать с температурной зависимостью τ_n в рамках так называемой двухцентровой (или многоцентровой) модели рекомбинации [18]. В этой модели рассматриваются глубокие τ -центры медленной и s -центры быстрой рекомбинации, отличающиеся сечениями захвата электронов $C_{ns}/C_{nr} \gg 10^3$, а также t -уровни прилипания, расположенные вблизи дна зоны проводимости E_c (вставка на рис. 2). Роль t -уровней заключается в том, что они определяют (через условие электронейтральности) заполнение центров рекомбинации. Опустошение t -уровней с ростом температуры приводит к эффекту ТАФ. Кроме того, прилипание значительно искажает кинетику фотоносителей, обуславливая «затягивание» времени релаксации либо наличие нескольких (по числу t -уровней с различной энергией активации) времен релаксации. Три значения τ_n $((1.2-1.9) \cdot 10^{-4}$, $(6-8) \cdot 10^{-4}$ и $1.2 \cdot 10^{-2}$ s) определены для кристаллов BGO в [19].

В наших экспериментах наблюдались следующие особенности ТАФ.

1) Возрастание фототока при собственном возбуждении характеризуется двумя экспоненциальными участками с близкими значениями энергии термической активации $E_{a1}^t = 0.17$ eV и E_{a2}^t eV, определенными из

$$I^{\text{ph}} = A_i \exp(-E_{ai}^T/kT), \quad (2)$$

где $A_i = \text{const}$, $i = 1, 2$. ТАФ для примесного фотовозбуждения с $h\nu = 2.3-3.2$ eV определяется одним значением: $E_a^T = 0.23$ eV (рис. 2, 3).

2) Протяженность температурного диапазона, соответствующего каждому из участков ТАФ, уменьшается с ростом интенсивности возбуждения L . Ограничивающие эти участки со стороны низких температур точки перегиба I_1^{ph} , I_2^{ph} в свою очередь экспоненциально зависят от температуры перегиба T_i^t (рис. 2):

$$I_i^{\text{ph}} = B_i \exp(-E_{tci}^T/kT_i^t), \quad (3)$$

где $B_i = \text{const}$, $i = 1, 2$. Энергия активации $E_{tcl}^T = 0.36$ eV и $E_{tc2}^T = 0.19$ eV вдвое превышает соответствующие значения E_{a1}^T и E_{a2}^T .

3) Температура $T_m = 260$ K, при которой процесс ТАФ заканчивается, остается практически неизменной при различных уровнях и различной энергии возбуждения (рис. 2, 3).

4) Кратность возрастания фототока K_a уменьшается с ростом L (рис. 2). Значения K_a определялись как

$$K_a = (I_{\infty}^{\text{ph}}/I_0^{\text{ph}})^2 = (n_{\infty}/n_0)^2, \quad (4)$$

где I_{∞}^{ph} , I_0^{ph} и n_{∞} , n_0 соответствуют значениям тока и концентрации фотоносителей на начальном этапе и после завершения ТАФ. При низком уровне возбуждения мы получили $K_a = 10^6$.

В соответствии с теоретическим анализом [18, 28] эти особенности позволяют однозначно связать ТАФ в кристаллах BGO с прилипанием электронов на t -уровни. При этом значения E_{tcl}^T , E_{tc2}^T и $2E_a^T$ определяют глубину их залегания относительно E_c .

Следует отметить также, что глубина залегаания уровней прилипания E_{tc1}^T и E_{tc2}^T удовлетворительно согласуется с энергией активации ловушек $E_{a1} = 0.1-0.20\text{eV}$ и $E_a = 0.32-0.38\text{eV}$, найденной методами термоактивационной спектроскопии в диапазоне температур $T < 240\text{K}$, соответствующем области наблюдения ТАФ [7,12,29,30]. Однако в работах [13,14] при исследовании ТАФ в кристаллах BSO активация фототока наблюдалась при более низких температурах ($T_m = 167\text{K}$) и были найдены (кроме уровней с $E_{tc2} = 0.15-0.2\text{eV}$) более мелкие уровни прилипания с $E_{tc3} = 0.07-0.09\text{eV}$.

Общая концентрация t -уровней может быть определена из соотношений

$$N'_{ti} = (n_\infty)^2/n_0 = K_a n_\infty, \quad (5)$$

$$N''_{ti} = N_c \exp(-T_m/kT), \quad (6)$$

где $i = 1, 2$, $N_c = 10^{17} \cdot T_m^{3/2}$ — эффективная плотность энергетических состояний в зоне проводимости (определялась с использованием данных [31]). Для оценки n_∞ использовалась величина $\mu_n = 1.1 \times 10^{-2} \text{cm}^2 \cdot (\text{V} \cdot \text{s})^{-1}$, которая была найдена в [8] для кристаллов BSO, выращенных в тех же технологических условиях, что и кристаллы, исследованные нами. Мы получили значения $N'_{t1} = 5 \cdot 10^{16} \text{cm}^{-3}$ и $N'_{t2} = 3 \cdot 10^{16} \text{cm}^{-3}$, коррелирующие с $N''_{t1} = 8.7 \cdot 10^{16} \text{cm}^{-3}$ и $N''_{t2} = 2.6 \times 10^{14} \text{cm}^{-3}$ (для уровней E_{tc1}^T и E_{tc2}^T соответственно).

Эффект ТГФ в рамках рассматриваемой двухцентровой модели рекомбинации может быть последовательно описан как результат термической перезарядки центров рекомбинации [18]. Предполагается, что в области температур T_2 происходит интенсивный обмен носителями заряда между r -центрами и валентной зоной. Поскольку r -центры расположены в нижней половине запрещенной зоны и имеют сильную асимметрию сечений захвата дырок и электронов ($C_{pr}/C_{nr} \ll 1$), термический выброс электронов из r -уровней в зону проводимости можно не учитывать.

Уменьшение фотопроводимости в области ТГФ следует из анализа критерия высокой фоточувствительности. Для кристаллов BSO как широкозонных полупроводников n -типа, согласно [18], он может быть определен следующим образом:

$$P_s/P_r = (g_r + x_r)/(g_r + x_s)\alpha_n < 1, \quad (7)$$

где P_s и P_r — концентрации дырок на s - и r -центрах, $\alpha_n = C_{nr}/C_{ns}$. Безразмерные параметры $x_r = g_s C_{pr} N_{vr}/C_{nr} n$ и $x_s = g_r C_{ps} N_{vs}/C_{ns} n$ представляют собой отношение скоростей термической генерации дырок из r - и s -центров соответственно к скоростям захвата электронов на эти же центры, g_r и g_s — коллективные параметры, характеризующие конкурентную способность r - и s -центров рекомбинации ($g_r + g_s = 1$), C_{ps} — сечение захвата дырок на s -центры, N_{vr} , N_{vs} — статистические факторы валентной зоны, приведенные к глубине r - и s -центров.

С увеличением температуры x_r увеличивается, неравенство (7) ослабляется, так как происходит перераспределение потоков рекомбинации с r - на s -центры. Это влечет за собой уменьшение τ_n и фотопроводимости. Таким образом, x_r характеризует интенсивность ТГФ.

Процесс гашения происходит в диапазоне $x_r'' > x_r > x_r'$ где $x_r' < 1$ соответствует его началу ($n = n_{r0}$), а $x_r'' > K_r$ — его окончанию ($n = n_{r\infty}$). Кратность гашения K_r определяется как

$$K_r = n_{r0}(n_{r0} + P_{n0})/n_{r\infty}(n_{r\infty} + P_{r0}), \quad (8)$$

где P_{r0} — начальная концентрация дырок на r -центрах.

Наблюдавшийся нами эффект ТГФ имеет все те характерные особенности, которые следуют из теоретического анализа термической перезарядки r - и s -центров рекомбинации, а именно (рис. 2): 1) явно выраженные точки перегиба зависимостей $I^{ph}(T)$ при низких $I_{r1}^{ph}(T_1')$ и высоких $I_{r2}^{ph}(T_2')$ температурах (при изменении интенсивности освещения для этих точек наблюдаются экспоненциальные зависимости от температуры: $I_{r1}^{ph}(T_1')$ и $I_{r2}^{ph}(T_2')$ с энергией термической активации $E_{rv}^T = 0.47$ eV, определяющей энергетическое положение r -уровней в запрещенной зоне (относительно потолка валентной зоны E_v):

$$I_{ri}^{ph} = C_i \exp(-E_{rv}^T/kT_i'), \quad (9)$$

где $C_i = \text{const}$, $i = 1, 2$;

2) сдвиг температурного диапазона ТГФ в область более высоких температур с ростом интенсивности фотовозбуждения;

3) близкий к S -образному общий вид зависимостей $I^{ph}(T)$ при низком уровне возбуждения (в области линейности люкс-амперных характеристик, соответствующей мономолекулярному характеру рекомбинации).

Отсчитывая глубину залегания r -центров от E_c ($\Delta E_g = 3.33$ eV при $T = 300$ K), получаем $E_{rc}^T = 2.86$ eV, что близко к значениям энергии $E_a^O = 2.9$ eV одного из пиков примесной фоточувствительности, проявляющегося в спектральных зависимостях фотопроводимости, а также лежит в диапазоне энергий активации 2.8–3.0 eV, найденном для r -центров в кристаллах BSO в [13].

Используя значения C_1 и C_2 (величины отрезков, отсекаемых на оси ординат для зависимостей $\ln I_{r1}^{ph}(1/kT_1')$ и $\ln I_{r2}^{ph}(1/kT_2')$), мы оценили отношение коэффициентов захвата электронов и дырок на r -центры (с точностью до множителя g_r) и кратность гашения K_r

$$C_1/C_2 = g_r C_{ns}/C_{nr} = K_r = 10^4. \quad (10)$$

Полученная кратность гашения типична для широкозонных фоточувствительных полупроводников n -типа [18], но значительно превышает найденную в [14].

В области ТГФ мы не наблюдали линейных участков для зависимостей $\ln I^{ph}(1/kT)$ при увеличении интенсивности освещения. Это указывает на отсутствие перехода от моно- к бимолекулярной рекомбинации с ростом L .

Эффект температурного гашения наблюдается также для примесной фотопроводимости (рис. 3). Интенсивность гашения при равных уровнях освещенности несколько выше, чем для собственной фотопроводимости. Хорошо выражена длинноволновая граница возбуждения

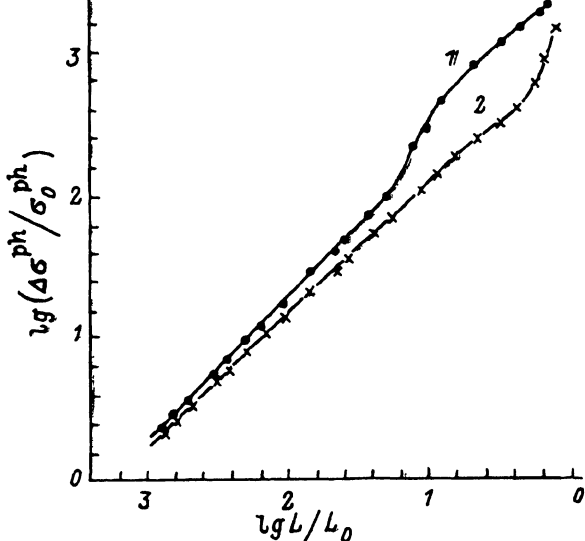


Рис. 4. Люкс-амперные характеристики кристаллов BSO в области ТГФ при $T_1 = 262$ К (1) и $T_2 = 291$ К (2).

$h\nu_b = 2.1$ eV. При $h\nu < h\nu_b$ ТГФ не наблюдается, эффект активации фотоотклика сохраняется, но наклон зависимостей $\ln I^{\text{ph}}(1/kT)$ значительно уменьшается. Возможно, активация здесь обусловлена другими причинами, например, температурной зависимостью подвижности.

3) Люкс-амперные характеристики. Люкс-амперные характеристики, полученные в области ТГФ, приведены на рис. 4. Они могут быть аппроксимированы выражением

$$\Delta\sigma^{\text{ph}}/\Delta\sigma_0^{\text{ph}} = b(L/L_0)^\gamma, \quad (11)$$

где L_0 — максимальная освещенность, $\Delta\sigma_0^{\text{ph}}$ получено при $L = L_0$, $b = \text{const}$, а показатель степени γ

$$\gamma = d \left[\ln(\Delta\sigma^{\text{ph}}/\Delta\sigma_0^{\text{ph}}) \right] / d \left[\ln(L/L_0) \right] \quad (12)$$

изменяется в пределах 1–4.

При относительно малых уровнях освещения люкс-амперные характеристики близки к линейным, рекомбинация контролируется τ -центрами и имеет мономолекулярный характер. По мере увеличения L наблюдается S -образный рост фототока, люкс-амперные характеристики становятся сверхлинейными. Показатель сверхлинейности γ проходит через максимум. С ростом температуры область сверхлинейности смещается в сторону больших значений освещенности. Эти особенности люкс-амперных характеристик, согласно [18], являются следствием двухцентрового механизма рекомбинации. В рамках этой модели возрастание γ и ТГФ происходят при одинаковом соотношении между скоростями рекомбинации и термогенерации носителей заряда из τ -центров. Различие состоит лишь в том, что при измерении люкс-амперных характеристик ($T = \text{const}$) величина x_τ изменяется в

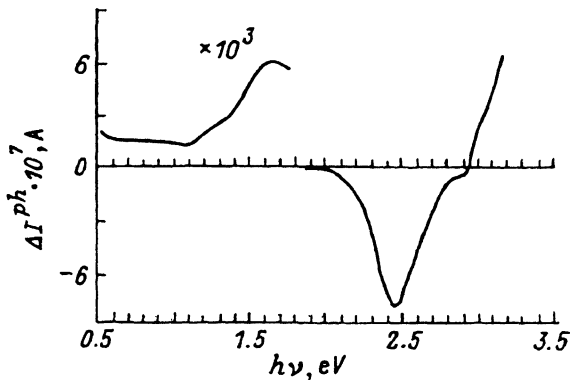


Рис. 5. Спектр оптического гашения собственной фотопроводимости кристаллов BSO при $T = 290$ К.

результате увеличения скорости захвата электронов. Это дает возможность оценить $x_r \approx 10^2$ в области ТГФ, воспользовавшись соотношением из [18]

$$1/\gamma = 1\gamma_0 - (x_r K_r)/(1 + x_r)(K_r + x_r), \quad (13)$$

где $\gamma_0 = 0.8$ было получено для люкс-амперных характеристик в области ТАФ. Наличие уровней прилипания сказывается в уменьшении наклона люкс-амперных характеристик в области сверхлинейности и обуславливает невысокие значения γ (так называемая пологая сверхлинейность). В области ТГФ люкс-амперные характеристики не содержат участков с $\gamma < 1$, т.е. переход к бимолекулярной рекомбинации не реализуется, что соответствует особенностям температурных зависимостей собственной фотопроводимости.

4) Оптическое гашение собственной фотопроводимости. Спектр оптического гашения, представляющий собой зависимость фотоотклика в области возбуждения собственной фотопроводимости от дополнительного освещения из области примесной фоточувствительности $\Delta I^{ph}(h\nu_{add})$, приведен на рис. 5. Он имеет особенности, существенно отличающие его от аналогичных спектров для многих широкозонных полупроводников [18]. Так, длинноволновая дополнительная подсветка вызывает некоторое увеличение, а не уменьшение собственной фотопроводимости. Интенсивное гашение последней наблюдается в области коротких волн и характеризуется двумя минимумами зависимости $\Delta I^{ph}(h\nu_{add})$ при $h\nu_1 = 2.45$ eV и $h\nu_2 = 2.9$ eV.

В условиях действия стационарного собственного возбуждения, которое обуславливает сильное заполнение t -уровней электронами, можно не рассматривать влияние этих уровней на перераспределение рекомбинационных потоков между r - и s -центрами. Кроме того, спектр оптического гашения получен в области ТГФ ($T = 290$ К), где имеют место интенсивные термические переходы между глубокими примесными центрами и валентной зоной. Принимая во внимание эти соображения, находим, что наблюдающаяся ситуация не соответствует простому механизму ионизации r -центров с генерацией дырок и их перелокализацией на s -центры. Вероятно, особенности оптического га-

шения обусловлены комбинацией эффектов оптической и термической перезарядки не двух, а нескольких типов r - и s -центров.

В заключение отметим, что полученные результаты, свидетельствуя в целом в пользу двухцентральной модели рекомбинации для собственной фотопроводимости, указывают на необходимость детального исследования многоцентральной схемы электронных переходов в случае примесной фотопроводимости с использованием продуктивных в этом плане кинетических методов.

Авторы выражают благодарность И.С. Горбаню за внимание к работе и полезные замечания.

Список литературы

- [1] Grousson R., Henry M., Mallik S. J. Appl. Phys. **56**, 1, 224 (1984).
- [2] Брыксин В.В., Коровин Л.И., Кузьмин Ю.И. ФТТ **28**, 9, 2728 (1986).
- [3] Астратов В.Н., Ильинский А.В., Кисилев В.А. ФТТ **28**, 11, 3438 (1986).
- [4] Брыксин В.В., Коровин Л.И., Кузьмин Ю.И. ФТТ **29**, 5, 1323 (1987).
- [5] Ильинский А.В., Куценко А.Б., Мельников М.Б. ФТТ **30**, 6, 1780 (1988).
- [6] Астратов В.Н., Ильинский А.В., Фурман А.С. ФТТ **31**, 8, 212 (1989).
- [7] Малиновский В.К., Гудаев О.А., Гусев В.А., Деменко С.И. Фотоиндуцированные процессы в силленитах Новосибирск (1990). 160 с.
- [8] Костюк В.Х., Кудзин А.Ю., Соколянский Г.Х. ФТТ **22**, 8, 2454 (1980).
- [9] Авраменко В.П., Кудзин А.Ю., Соколянский Г.Х. ФТТ **26**, 2, 485 (1984).
- [10] Atterd A.E. J. Appl. Phys. **69**, 1, 44 (1991).
- [11] Stohkendl F.P., Hellwarth R.W. J. Appl. Phys. **62**, 6, 2450 (1987).
- [12] Hou S.L., Lauer R.B., Aldrich R.E. J. Appl. Phys. **44**, 6, 2652 (1973).
- [13] Захаров И.С., Петухов П.А., Скориков В.М., Кистенева М.Г. Изв. вузов. Физика, 6, 85 (1985).
- [14] Захаров И.С. ФТТ **27**, 4, 1062 (1985).
- [15] Камшилин А.А., Петров М.П. ФТТ **23**, 10, 3110 (1981).
- [16] Волосов А.Я., Костюк В.Х., Кудзин А.Ю., Соколянский Г.Х. ФТТ **23**, 7, 2187 (1981).
- [17] Карповч И.А., Колосов Е.Е., Леонов Е.И., Орлов В.М., Шилова М.В. Неорганические материалы **21**, 6, 965 (1985).
- [18] Лашкарев В.Е., Любченко А.В., Шейкман М.К. Неравновесные процессы в фотопроводниках. Киев (1981). 264 с.
- [19] Рывкин С.М. Фотоэлектрические явления в полупроводниках М. (1963). 404 с.
- [20] Реза А.А., Сенулене Д.В., Беляев В.А., Леонов Е.И. Письма в ЖТФ **5**, 8, 465 (1979).
- [21] Douglas G.G., Zitter R.N. J. Appl. Phys. **39**, 4, 2133 (1968).
- [22] Ермаков М.Г., Хомич А.В., Перов П.И., Горн И.А., Куча В.В. Микроэлектроника **11**, 5, 424 (1982).
- [23] Быковский Ю.А., Зуев В.В., Кирюхин А.Д., Скориков В.М., Чмырев В.И. ФТП **12**, 10, 2004 (1978).
- [24] Копылов Ю.Л., Кравченко В.Б., Куча В.В. Микроэлектроника **11**, 5, 477 (1982).
- [25] Prakash S.G., Mamedov A.M., Lebedeva N.N., Marduxaev A.R. Indian J. Pure Appl. Phys. **20**, 306 (1982).
- [26] Toyoda T., Maruyama S., Nakanishi H., Endo S., Irie T. J. Phys. D: Appl. Phys. **19**, 909 (1986).
- [27] Гудаев О.А., Седельников А.П. ФТТ **29**, 3, 946 (1987).
- [28] Любченко А.В., Шейкман М.К. УФЖ **18**, 1, 133 (1973).
- [29] Grabmaier B.C., Oberschmid R. Phys. Stat. Sol. (a) **96**, 199 (1986).
- [30] Takamori T., Just D. J. Appl. Phys. **67**, 2, 848 (1990).
- [31] Lauer R.B. J. Appl. Phys. **45**, 4, 1794 (1974).